

# GAUSS-DAĞILIMLI OLMAYAN GÜRÜLTÜDE SİNÜZOİDAL PARAMETRE KESTİRİMİ \*

Mustafa A. Altinkaya, Bülent Sankur, Emin Anarım, Hakan Deliç

Elektrik-Elektronik Mühendisliği Bölümü, Boğaziçi Üniversitesi,  
80815, Bebek, İstanbul

E. Posta : altink, sankur, anarim, delic @busim.ee.boun.edu.tr

## Özetçe

*Sinüzoidal sıklık kestiriminde toplanır gürültü Gauss-olmayan bir dağılıma, özellikle de dürtün (impulsive) bir karaktere sahipse verinin bölütlere ayrılması ve her bir bölütteki parametre kestirimlerinin doğrusal-olmayan ortalamalarının kullanılmasıyla parametre kestirimlerinin iyileşebileceği gösterilmiştir. Bu amaçla ortalama işleminin farklı parametreler üzerinde alınmasının, kullanılan ortalama yönteminin, bölüt sayısının, gürültü tipinin dürtünlüğünün kestirim başarımına etkisi araştırılmıştır. Kullanılan ortalama tekniklerinden sıra (rank) süzgeçlemesi genel olarak diğer tekniklere üstünlük sağlamaktadır.*

## 1 Giriş

Toplanır beyaz gürültü ortamında kısa bir veri kaydından ton tipindeki sinyallerin parametrelerin kestirimini problemi, sayısal sinyal işlemenin kuramında ve uygulamasında hala güncelliğini sürdürmektedir. Toplanır beyaz gürültü çoğu kez Gauss-olmayan bir olasılık dağılımı sergiler. Bu durumlarda, özellikle gürültü etekleri daha dolu bir olasılık dağılımına sahipse, doğrusal olmayan ortalama tekniklerinin modele dayalı kestircilerin başarımlarını, sapık (outlier) kestirimleri eleyerek iyileştirmesi beklenebilir.

Çalışmanın bir amacı da doğrusal-olmayan ortalamaların, gürültü dağılımı Gauss olsun ya da olmasın, nasıl bir başarım sergileyebileceklerinin araştırılmasıdır. Gauss gürültüsü durumunda kestirim başarımlını pek azaltmayan, fakat Gauss-olmayan gürültü ortamlarında önemli başarım artışı sağlayan, başka bir deyişle gürültünün olasılık dağılımına karşı gürbüz ortalama alma yöntemlerinin değerlendirilmesi çalışmanın başlıca amacını oluşturmaktadır.

## 2 Sinyal ve Olasılık Modelleri

Sinyalin gerçek sinüzoidallerin toplamından olduğunu,

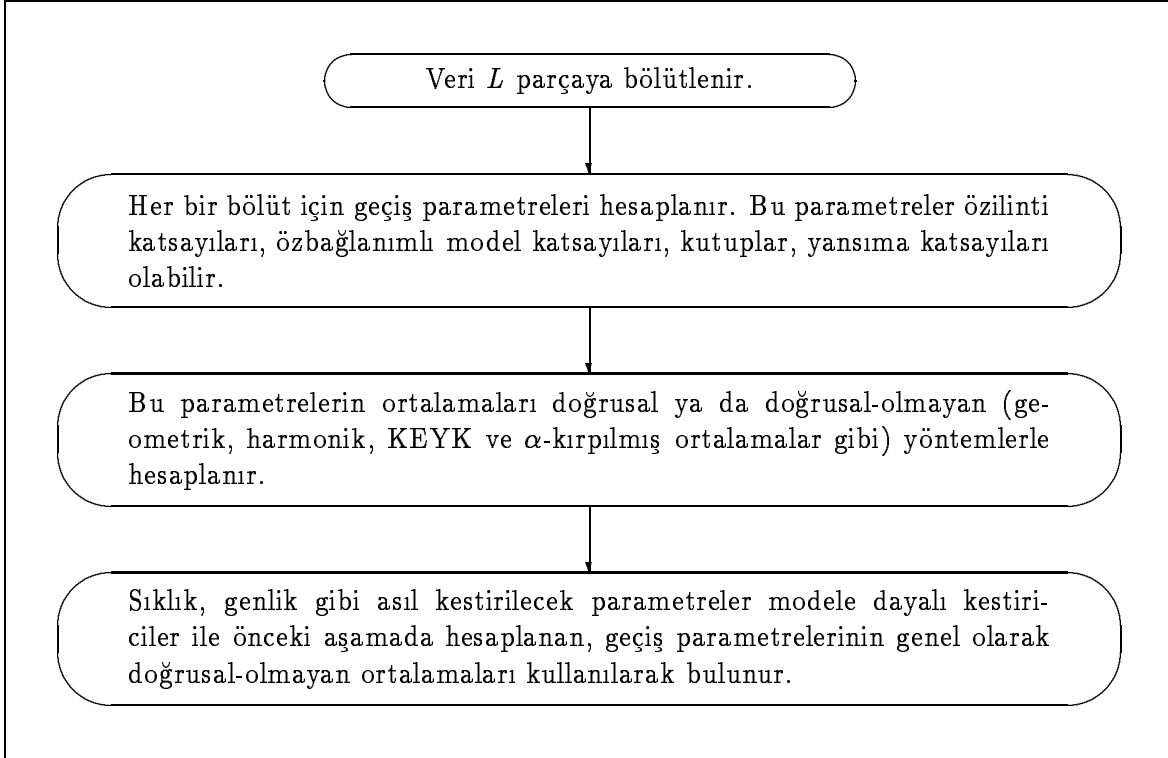
$$s_n = \sum_{k=1}^K A_k \sin(2\pi f_k n + \theta_k) \quad (1)$$

ve toplanır beyaz gürültü ortamında gözlemlendiğini,

$$x_n = s_n + e_n \quad n = 1, \dots, N \quad (2)$$

---

\*Bu çalışma TÜBİTAK tarafından EEEAG-83 ve EEEAG-139 sayılı projeler kapsamında desteklenmektedir.



Şekil 1: Önerilen ortalama yönteminin akış çizeneği.

varsayalım. Burada  $\{e_n\}$  bağımsız özdes dağılımlı, değişintisi (değişintinin tanımı olduğu olasılık dağılımları için)  $\sigma^2$  olan bir gerçek raslantısal değişken dizisini,  $N$  veri örneklerinin sayısını,  $K$  ton sinyallerinin sayısını göstermektedir. Bilinmeyen parametrelerin  $k$ 'inci ton sinyali için genlik  $A_k$ , ton sıklığı  $f_k$  ve evre açısı  $\theta_k$  olduğu varsayılmıştır. Çalışmadaki benzetimler  $K = 1$  tek ton için yürütülmüştür.

Çalışmada kullanılan toplanır gürültünün olasılık dağılımları ise şunlardır:

- **Laplace dağılımı:** Laplace olasılık dağılımı aşağıdaki şekilde verilir:

$$f_X(x) = \frac{\lambda}{2} \exp -|\lambda x| \quad -\infty < x < \infty \quad (3)$$

Laplace dağılımlı bir raslantısal değişkenin beklentisi  $\mu = 0$  ve değişintisi  $\sigma^2 = \frac{2}{\lambda^2}$ 'dır.

- **Simetrik  $\alpha$ -Kararlı (S $\alpha$ K) Dağılımlar:** S $\alpha$ K dağılımlar karakteristik işlevleri

$$\phi(\omega) = \exp(j\delta\omega - \gamma|\omega|^\alpha) \quad (4)$$

ile tanımlanırlar. Burada  $\alpha$  ( $0 < \alpha \leq 2$ ) dağılımin karakteristik üsteli,  $\delta$  ( $-\infty < \delta < \infty$ ) konum parametresi ve  $\gamma$  ( $\gamma > 0$ ) saçılım (dispersion) parametresidir.  $\alpha$  arttıkça S $\alpha$ K dağılımin dürtün özelliği azalır. Saçılım parametresi  $\gamma$ , Gauss dağılımdaki değişintiye benzer bir işlev üstlenmiştir. Bu olasılık dağılımlarının açık ifadeleri genel olarak yazılamamakla birlikte  $\alpha = 1$  ve  $\alpha = 2$  değerleriyle çok bilinen iki dağılım Cauchy

$$f(x) = \frac{1}{\pi\gamma \left(1 + \left(\frac{x-\delta}{\gamma}\right)^2\right)} \quad -\infty < x < \infty \quad (5)$$

ve Gauss dağılımları elde edilir. Eğer gürültü dizisi  $\{e_n\}$  sıfır konum parametreli birim saçılımlı Cauchy bir süreç ise,  $\{\gamma e_n\}$  dizisi sıfır konum parametreli  $\gamma$  saçılımlı Cauchy bir süreçtir. Genel olarak SaK bir dağılımın yalnızca dereceleri  $p < \alpha$  olan momentleri tanımlanabildiği için, bu değişkenlerin bekleneni ve değişintileri tanımlanamaz.

### 3 Gürültüye Karşı Ortalama Alma Yöntemi

Toplanır gürültü etekleri dolu bir olasılık dağılımına sahip olduğunda doğrusal-olmayan ortalama tekniklerinin sapkınlığı değerleri eleyerek sinüzoidal parametre kestirimlerini iyileştireceği savlanmaktadır. Ortalama alma işlemleri özilinti katsayıları, kutuplar gibi geçiş parametrelerine uygulanabilecek birlikte doğrudan kestirilmesi amaçlanan sinüzoidal sıklık gibi parametrelere de uygulanabilir. Önerilen yöntemin akış çizeneği Şekil 1'de sergilenmiştir.

Bu çalışmada ele alınan doğrusal olmayan ortalama yöntemleri geometrik, harmonik, K-en-yakın komşu (KEYK) ve  $\alpha$ -kırılpılmış ( $\alpha$ -trimmed) ortalamalardır [2]. KEYK yönteminde, ortalama alınacak parametrelerin aritmetik ortalamasına en yakın konumda olan  $K$  adet değerin ortalamaları alınmaktadır. KEYK yönteminin Çizelge 1'deki aritmetik tanımında  $\{x^i\}$  artan Öklid uzaklığına  $\delta_i = \delta_i(\mu_{AR}, x^i)$  göre sıralanmış gözlemleri göstermektedir.  $\alpha$ -kırılpılmış ortalama ise,  $[L\alpha]$ ,  $L\alpha$ 'dan küçük olan en büyük tamsayıyı gösterdiğinde, sıra süzgeçlemesi ile  $([L\alpha] + 1)$ 'nci sıra ile  $(L - [L\alpha])$ 'nci sıra arasındaki değerlerin aritmetik ortalamasının alınmasıyla bulunur [1].  $\alpha$ 'nın alabileceği değerler  $0 \leq \alpha \leq 0.5$  aralığındadır. İki uç değer ise çok bilinen ortalama tekniklerine yakınsar :

- $\alpha = 0 \Rightarrow$  aritmetik ortalamayı verir,
- $\alpha = 0.5 \Rightarrow$  ortanca değeri verir.

Çizelge 2'de ise hangi sıklık kestircilerinde hangi parametrelere ortalama yöntemlerinin uygulanlığı verilmiştir. Pisarenko, Yüksek Kerteli Yule-Walker (YKYW) ve Tufts-Kumaresan (TK) sıklık kestircileri verinin özilinti matrisini kullanırlar. Pisarenko ve TK kestircileri alt-uzay teknikleri olup, Pisarenko kestircisi tek boyutlu gürültü uzayı özvektörünü, TK kestircisi ise sinyal uzayı özvek-törlerini kullanarak ton sıklıklarını kestirirler. YKYW ton kestirimleri Levinson-Durbin algoritması ile bulunan özbağlantılı çokterimlinin sıfırları olarak elde edilir. Matris Kalemi (MK) yönteminde ise sinyalin kutupları biri diğerine göre bir örnek kaydırılmış veri dizisiyle oluşturulur- lan iki matristen elde edilen genelleştirilmiş özdeğerleri olup ton sıklıkları bu kutupların açısı ola- rak bulunmaktadır [3]. Kestircilerin kerteleri ise "YKYW-12" deki gibi belirtilmiştir.

### 4 Benzetim Sonuçları

Benzetimlerde aksi belirtilmedikçe örnek sayısı  $N = 275$ , bölüm sayısı  $L = 11$ 'dir. Gürültü gerçeklemesi 30 kez yinelenmiş ve her bir gerçekleme için 20 rasgelece seçilmiş sinüzoid evresi uygulanmıştır. Sinyal Gürültü Oranı (SGO), Gauss ve Laplace dağılımlı gürültüler için  $SGO = \frac{A^2}{2\sigma^2}$  şeklinde hesaplanır. Cauchy gürültüler için ise Cauchy bir rastlantısal değişkenin değişintisinin tanımlı olmaması nedeniyle SGO yerine

$$GSGO = 10 \log \left( \frac{1}{\gamma N} \sum_{n=1}^N |x(n)|^2 \right) \quad (6)$$

Cizelge 1: Ortalama yöntemlerinin tanımları

Ortalama Yöntemi	Simge	Aritmetik tanım
Aritmetik Orta	$\mu_{AR}$	$\frac{1}{L} \sum_{i=1}^L x_i$
Geometrik Orta	$\mu_{GE}$	$\left( \prod_{i=1}^L x_i \right)^{1/L}$
Harmonik Orta	$\mu_{HAR}$	$\frac{L}{\sum_{i=1}^L \frac{1}{x_i}}$
KEYK-Ortalaması	$\mu_{KNN}$	$\frac{1}{K} \sum_{i=1}^K \delta_i(\mu_{AR}, x^i); \quad i = 1, \dots, K;$ $\delta_1 \leq \delta_2 \leq \dots \leq \delta_L$
$\alpha$ -kırıplı orta	$\mu_\alpha$	$\frac{x_{( L_\alpha +1)} + \dots + x_{(L- L_\alpha )}}{L-2 L_\alpha }$

Cizelge 2: Sıklık kestiricileri ve bölüm ortalamalarının alındığı parametreler

	Özilinti	Özbağlanım katsayısı	Yansıma katsayısı	Kutuplar	Sıklık
Pisarenko	*	*	*		*
YKYW	*	*	*		*
TK		*			*
MK				*	*

şeklinde verilen genelleştirilmiş SGO (GSGO) kullanılmıştır. Yine aksi belirtilmediği durumlarda  $GSGO = 10 \text{ dB}$ 'dir. Benzetim çalışmaları sonucunda Gauss-olmayan gürültü ortamında kestirilen sıklığın ortalama kare hatasının (OKH)

- ortalama alma yöntemine göre sıralaması
- ortalaması alınacak parametreye göre sıralaması

belirlenmiş, böylece gürültüye karşı en fazla dayanıklılık sağlayan parametre ve ortalama yöntemleri saptanmıştır. OKH ise  $\hat{f}_1$  kestirilen sıklık olmak üzere  $\sigma_f^2 = E[(f_1 - \hat{f}_1)^2]$  olarak hesaplanmış, şekil ve çizelgelerde ise  $-10 \log OKH$  olarak verilmiştir. Böylece, sözgelimi OKH değeri  $-40 \text{ dB}$  ve örnekleme sıklığı da  $1000 \text{ Hz}$  olduğunda sıklık kestiriminin standart sapması  $10 \text{ Hz}$ 'den az olacaktır.

#### 4.1 Ortalama yöntemlerinin (sıklık üzerinde) karşılaştırılması

Sekil 2'de YKYW-12'nin her bir bölümten elde edilen sıklık kestirimlerinin ortalanması ile Cauchy gürültüde OKH'nın sıklığa bağlı değişimi görülmektedir. Cizelge 3'te ise yine Cauchy gürültüde ortalama yöntemleri farklı parametrelere uygulandığında ortalamasız kestirime göre sağlanan OKH kazancının  $0.1 - 0.4$  sıklık değerlerindeki ortalaması verilmektedir. Sekil 2'deki sonuçların, Cizelge 3'deki son kolonda verilen sıklık ortalamasının sağladığı OKH kazancıyla birlikte değerlendirilmesiyle, geometrik ve harmonik ortalamanın sıklık kestirimini kötülestirdiği, aritmetik ortalamanın  $14.6 \text{ dB}$  gibi bir OKH kazancı sağlamakla birlikte bu kazancın  $27.6 \text{ dB}'lik$  KEYK ortalaması ( $K = 9$ ) ve  $32.0 \text{ dB}'lik$  ortanca süzgeç ve  $\alpha$ -kırıplı ortalama ( $\alpha = 0.3$ ) OKH kazancından çok az olduğu görülmektedir. Ortalama yöntemlerinin Sekil 2'de görülen başarım-

Çizelge 3: YKYW-12 sıklık kestircisinde farklı ortalama yöntemlerinin, farklı parametrelere uygulanmasıyla Cauchy gürültüde ( $GSGO = 10 \text{ dB}$  ve  $L = 11$ ) ortalamasız kestirime göre sağlanan OKH kazancı (dB). (OKH kazancı  $0.1 - 0.4$  sıklık değerleri arasındaki OKH kazançlarının ortalamasıdır.)

	Özilinti	Yansıma katsayısı	Özbağlanım katsayısı	Sıklık
Aritmetik Orta	2.7	21.2	23.5	14.6
Geometrik Orta	-5.6	-7.2	-7.7	1.3
Harmonik Orta	-2.8	-6.5	-7.7	2.0
Ortanca	28.0	22.8	17.6	32.0
KEYK-Ortalaması	29.1	22.6	18.4	27.6
$\alpha$ -kırılmış orta	33.6	23.6	20.0	32.0

larını bir iki sözcük ile betimlemek gerekirse: 1) ortalamasız, geometrik orta ve harmonik orta ile kestirim çok kötü, 2) aritmetik orta ile kestirim kötü, 3) KEYK ortalaması ile kestirim iyi, 4) ortanca ve  $\alpha$ -kırılmış orta ile kestirim çok iyi sonuç vermişlerdir. Ortalama yöntemlerinin Pisarenko, TK ve MK kestircileriyle kullanılması ile de benzer vargilara ulaşılmıştır.

## 4.2 Ortalanan parametre türünün karşılaştırılması

Ortalama yöntemlerini karşılaştırıp  $\alpha$ -kırılmış ortalamanın en iyi sonucu verdienen gördükten sonra, ortalama alma işlemini hangi parametrelere uygulamanın daha etkin olacağını bulmak önemli olmaktadır. Bu amaçla YKYW-12 kestircisi ile  $\alpha$ -kırılmış ortalamanın değişik parametrelere uygulandığı zaman elde edilen OKH'nın sıklığına bağlı değişimi Şekil 3'de gösterilmektedir. Bu şekildeki sonuçların Çizelge 3'deki son satırda verilen  $\alpha$ -kırılmış ortalamanın farklı parametrelerde sağladığı OKH kazancıyla birlikte değerlendirilmesiyle, yansıtma ve özbağlanım katsayılarının ortalanmasının  $23.6 \text{ dB}$  ve  $20.0 \text{ dB}$  gibi oldukça iyi bir OKH kazancı sağlamakla birlikte, sıklık ortalamasının  $32.0 \text{ dB}$ , özilinti ortalamasının ise  $33.6 \text{ dB}$  OKH kazancı ile çok daha başarılı oldukları görülmüştür.

Çizelge 3'deki sonuçlara göre seçilen bazı ortalama yöntemlerive bazı parametrelerin oluşturduğu en iyi çiftler için OKH sonuçları Çizelge 4'de TK ve MK yöntemlerindeki başka çiftlerle birlikte listelenmiştir.

Çizelge 4'de görüldüğü gibi YKYW ve Pisarenko karşılaştırıldığında, görelî sıralarını tam korumamakla birlikte, biri için iyi olan ortalama-parametre çiftinin (örneğin özilinti ve ortanca) diğeri için de iyi olduğu saptanmıştır. TK ve MK kestircileriyle ise ortalama yöntemleri Çizelge 2'deki parametrelere uygulandığında TK için özbağlanım katsayılarının ortalanmasının, MK için ise kutupların ortalanmasının sıklık değerlerinin ortalanmasına oranla daha başarılı oldukları görülmüştür.

## 4.3 OKH'nın SGO veya GSGO'na bağlı değişimi

Şekil 4'de TK-12 sıklık kestircisinin Çizelge 4'de en başarılı sonuçları verdikleri görülen özbağlanım katsayılarına ortanca süzgeç, KEYK ortalama ve  $\alpha$ -kırılmış ortalama teknikleri uygulanmasıyla ve ortalamasız elde edilen sıklık bandı üzerinde ortalaması alınmış OKH'nın Cauchy gürültüde GSGO'ya, Laplace gürültüde SGO'ya bağlı olarak değişimi görülmektedir. Cauchy

Çizelge 4: Ortalama yöntemi ve uygulandığı parametrelerin oluşturduğu en iyi çiftler için sıklığa göre ortalaması alınmış (1/OKH) (dB) (Cauchy gürültü)

	YKYW-12	Pisarenko	YW-2	TK-12	MK-12
Özilinti ve $\alpha$ -kırılmış orta	40.6	33.6	19.1	-	-
Sıklık ve ortanca	39.0	35.5	21.3	41.8	41.5
Sıklık ve $\alpha$ -kırılmış orta	39.0	34.0	21.1	37.5	37.2
Özilinti ve KEYK-Ortalaması	35.9	29.4	16.5	-	-
Ozilinti ve ortanca	35.5	33.6	20.1	-	-
Sıklık ve KEYK-Ortalaması	34.5	31.7	18.4	30.2	28.4
Özbağlanım katsayısı ve $\alpha$ -kırılmış orta	-	-	-	42.03	-
Özbağlanım katsayısı ve KEYK-Ortalaması	-	-	-	41.3	-
Kutup ve ortanca	-	-	-	-	40.7

gürültüde  $0 \text{ dB}$ 'den başlayarak GSGO arttıkça KEYK ve  $\alpha$ -kırılmış ortalama ile ortanca değer kullanımının sağladığı kazanç artmakta ve  $GSGO = 10 \text{ dB}$  yöresinde en yüksek değerine ulaşıp sonra azalmaktadır.

Laplace gürültü dağılımı durumunda ise bölütleme ve bölütler üzerinden ortalama işlemi OKH'yi Şekil 4'deki (II)'de görüldüğü gibi tüm ortalama yöntemlerinde yaklaşık  $20 \text{ dB}$  kötüleştmektedir. Geometrik ve harmonik ortalamaların başarımları ise  $GSGO < 10 \text{ dB}$  olduğunda daha da düşüktür. Ortalama yöntemi PK, YKYW-12 ve MK-12 kestircilerinde kullanıldığında da benzer sonuçlar elde edilmiştir. Sonuç olarak sapkın gidermeye yönelik algoritmalar Cauchy gibi geniş etekli dağılımda işe yararken, Laplace, Gauss gibi derleşik bir olasılık kütlesine sahip gürültü ortamlarında kayıplara bile yol açmaktadır.

#### 4.4 OKH'nın $\alpha$ -kararlı dağılımların $\alpha$ 'sına bağlı değişimi

Laplace ve Gauss gürültülerde bölütleme ve ortalama alma işleminin ortalama yönteminden bağımsız olarak kestirim başarımını kötülestirmesi, gürültünün dürtün özelliği zayıfladığında ortalama yönteminin yararının zarara dönüştüğünü göstermiştir. Bu bakımdan toplanır gürültü olarak, dürtün karakteri  $\alpha$  parametresiyle belirlenen  $\alpha$ -kararlı süreçlerin kullanımıyla ortalamanın yararının zarara dönüştüğü dürtün karakter eşiği  $\alpha$  parametresi cinsinden incelenmiştir. Şekil 5'de YKYW-12 sıklık kestircisinin sıklığa göre ortalama OKH kazancının  $\alpha$ -kararlı gürültünün  $\alpha$ 'sına bağlı değişimi görülmektedir. Ortanca, KEYK ortalaması ( $K = 9$ ) ve  $\alpha$ -kırılmış ortalama ( $\alpha = 0.3$ ) için elde edilen sonuçlar kararlı dağılım üsteli  $\alpha$  arttıkça yani dürtün

karakter azaldıkça kazancın da giderek azaldığını ve  $\alpha = 1.5$ 'den itibaren bölütleme ve ortalamaya yönteminin OKH'nın artmasına yol açtığı görülmektedir.

#### 4.5 OKH'nın bölüt sayısına bağlı değişimi

Ortalama yöntemlerinin bölüt sayısına bağlı davranışını belirlemek üzere değişen  $N$  ve  $L$  değerlerinde ortalamalı kestirimlerin, ortalamasız kestirimlere olan OKH kazançları araştırılmıştır. Şekil 6'de  $GSGO = 10 \text{ dB}$  iken Cauchy gürültüde Pisarenko kestircisi ile elde edilen sonuçlar görülmektedir. OKH kazancının bölüt sayısı ile birlikte düzenli olarak arttığı izlenmektedir. Aslında bölüt sayısı çok arttırıldığında çözünürlük azalmaktadır, bu bakımdan en küçük bölüt uzunluğu 25'e sınırlandırılmıştır.

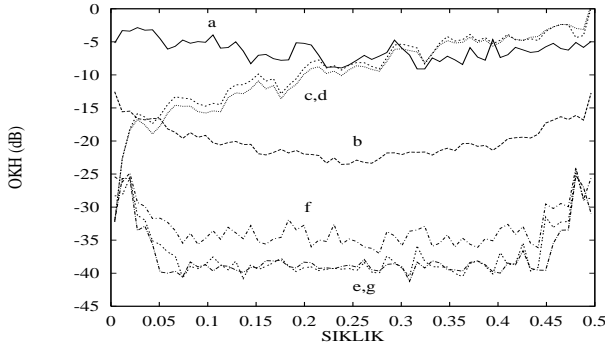
### 5 Sonuçlar

Sinüzoidal sıklık kestiriminde Gauss'tan çok daha büyük değerlere erişebilme olasılığı olan etekleri dolu gürültülere karşı doğrusal olmayan ortalamaya yöntemlerinin kullanımını ile alınan sonuçlar şöyle özetlenebilir.

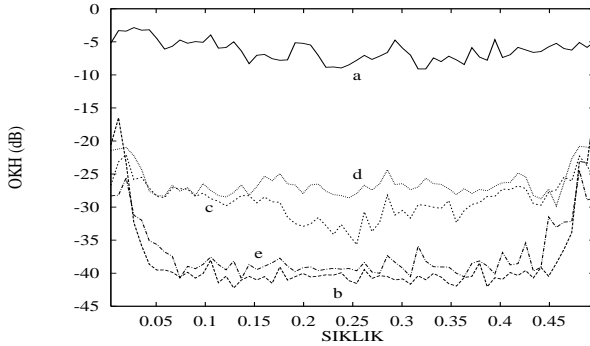
- Ortalama alma işleminin Şekil 1'de de gösterildiği gibi geçiş parametrelerine yani özilinti katsayıları, özbağlanımlı model katsayıları, kutuplar, yansima katsayılarına uygulanması çoğu kez, kestirilecek sıklık parametresine uygulanmasından daha etkili olmuştur.
- Sıra süzgeçlemesi yani  $\alpha$ -kırılmış ortalama ve ortanca değer kullanımını Cauchy gürültüde diğer ortalama yöntemlerine kıyasla daha başarılı sonuçlar vermişlerdir.
- Genel olarak KEYK ve  $\alpha$ -kırılmış ortalamalarda, ortalamanın sağladığı kazancın  $K$  ve  $\alpha$  değerlerine çok duyarlı olmadığı görülmüştür.
- Ortalama yöntemlerinin etkili olabilmesi için bölüt sayısının 10'dan daha büyük olması gereği ve bölüt uzunluğu kestircilerin başarılı olabileceği en küçük uzunluğun altına düşmediğinde OKH kazancının bölüt sayısı ile birlikte düzgünce arttığı görülmüştür.
- Ortalama yöntemlerinin toplanır gürültünün dürtün karakterini yitidikçe yararlarının yok olduğu ve sıfır kazanç durumuyla  $\alpha$ -kararlı gürültünün yaklaşık  $\alpha = 1.5$  değerinde karşılaşmıştır. Ancak dürtün özelliği olmayan gürültülerde ortalamaya yönteminin neden olacağı sınırlı başarım azalmasına karşılık, Cauchy benzeri gürültülerde ortalamaya yönteminin sağladığı büyük başarım artışı, gürültünün dürtün de olabilecek dağılımının tam olarak bilinemediği durumlarda kestircilere gürbüzlük kazandıracaktır.

### Kaynakça

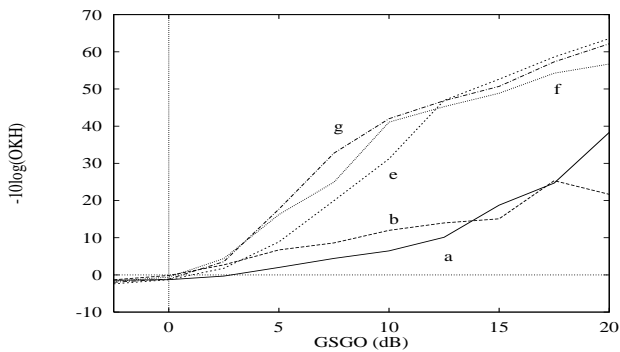
- [1] P.J. Huber, "Robust Statistics: A Review", The Annals of Mathematical Statistics, Vol. 43, No. 4, 1972, s. 1041-1067.
- [2] J.M.H. Du Buf ve T.G. Campbell, "A Quantitative Comparison of Edge-Preserving Smoothing Techniques", Signal Processing, Vol. 21, No. 1, Temmuz 1990, s. 289-301.
- [3] Louis L. Scharf, *Statistical Signal Processing*, Addison Wesley Pub. Company, 1991.



Şekil 2: YDYW-12'nin Cauchy gürültüde bölüt sıklık kestirimleri ortalamasının OKH'sının sıklığına bağlı olarak değişimi; a: ortalamasız ( $L = 1$ ), b: aritmetik, c: geometrik, d: harmonik, e: ortanca, f: KEYK ( $K = 9$ ), g:  $\alpha$ -kırıplımsı ( $\alpha = 0.3$ ) ortalamalar ( $N = 275$ ,  $L = 11$ ,  $GSGO = 10 \text{ dB}$ )

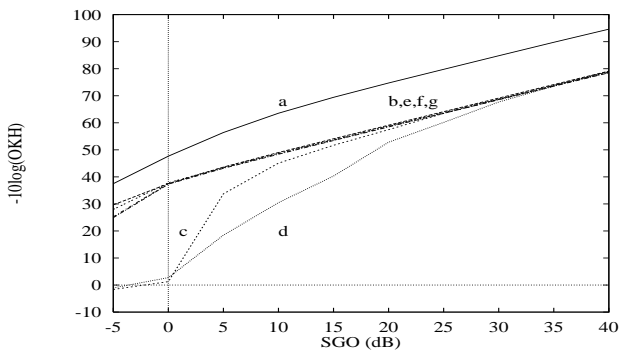


Şekil 3: YDYW-12 sıklık kestircisine uygulanan  $\alpha$ -kırıplımsı ortalama ( $\alpha = 0.3$ ) ile bulunan OKH'nın sıklığına bağlı olarak değişimi; a: ortalamasız ( $L = 1$ ), b: özilinti, c: yansılma katsayıısı, d: özbağlanım katsayıısı, e: sıklık ortalamaları ( $N = 275$ ,  $L = 11$ ,  $GSGO = 10 \text{ dB}$ )

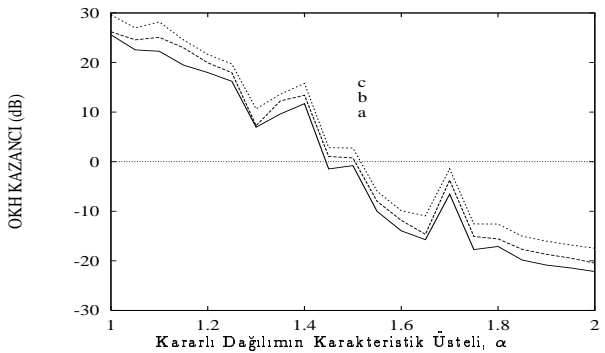


(I) Cauchy gürültü

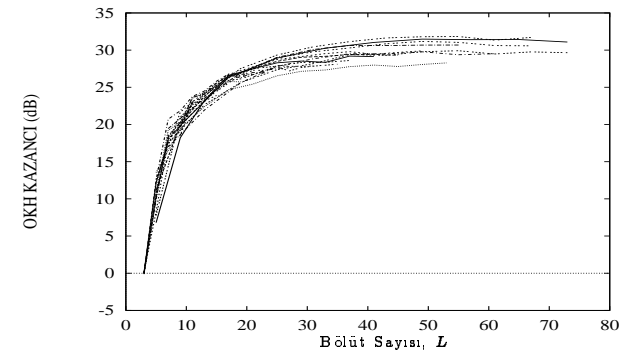
Şekil 4: MN-12 sıklık kestircisinin sıklığına göre ortalaması alınmış OKH'sının Cauchy gürültüde GSGO'ya, Laplace gürültüde SGO'ya bağlı olarak değişimi; a: ortalamasız ( $L = 1$ ), b: aritmetik, c: geometrik, d: harmonik, e: ortanca, f: KEYK ( $K = 9$ ), g:  $\alpha$ -kırıplımsı ( $\alpha = 0.3$ ) ortalamalar ( $N = 275$ ,  $L = 11$ ) (özbağlanım katsayıları ortalaması,  $N = 275$ ,  $L = 11$ )



(II) Laplace gürültü



Şekil 5: YDYW-12'nin sıklığına göre ortalama OKH kazancının  $\alpha$ -kararlı gürültünün  $\alpha$ 'sına bağlı değişimi; a: ortanca, b: KEYK ortalaması ( $K = 9$ ), c:  $\alpha$ -kırıplımsı ortalama ( $\alpha = 0.3$ ) (özilinti ortalaması,  $N = 275$ ,  $L = 11$ ,  $GSGO = 10 \text{ dB}$ )



Şekil 6: Pisarenko sıklık kestircisinin sıklığına göre ortalaması alınmış OKH kazancının bölüt sayısına bağlı olarak değişimi (özilinti katsayıları ortalaması,  $L = 200$ 'den 2000'e kadar,  $GSGO = 10 \text{ dB}$ )